

STUDIUL FRECĂRII DE ROSTOGOLIRE LA SCARA MICRO PRIN METODA OSCILAȚIILOR LIBERE

Dumitru OLARU, Ciprian Vasile STAMATE

Pentru a determina pierderile prin frecare în cazul unui microtribosistem de rostogolire s-a pus la punct o metodologie bazată pe oscilația liberă a unei microbile pe o suprafață sferică aflată doar sub influența gravitației. În figura 1 este prezentat principiul metodei. În funcție de mărimea momentului de frecare de rostogolire M_r și de poziția de start (unghiul φ_0), microbila va avea un anumit număr de oscilații pe suprafața sferică dată. În funcție de numărul de oscilații complete ale microbilei se poate determina valoarea momentului de frecare de rostogolire M_r precum și coeficientul de frecare la rostogolire

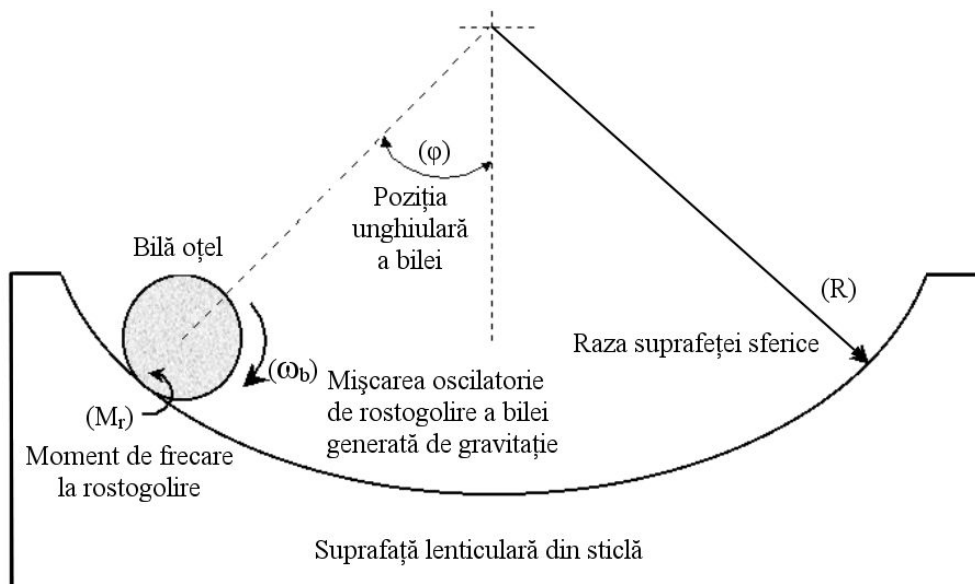


Figura 1 Oscilația bilei pe o suprafață sferică

1. Modelarea matematică a oscilațiilor libere ale microbilei

Când microbila rulează pe suprafața sferică din poziția unghiulară φ_0 în poziția unghiulară φ , așa cum se observă în figura 2, poate fi scrisă următoarea ecuație energetică:

$$\Delta W + M_r \cdot \Delta \theta = G \cdot \Delta h \quad (1)$$

unde: $-\Delta W$ = variația energiei cinematice a microbilei;

- $M_r \cdot \Delta\theta$ = energia pierdută la contactul bila-suprafață de rostogolire;
- $G \cdot \Delta h$ = energia potențială a microbillei;

Pentru o microbilă care are viteza inițială zero (la poziția unghiulară φ_0) variația energiei cinematice este dată de relația:

$$\Delta W = \frac{m \cdot v^2}{2} + \frac{J \cdot \omega b^2}{2} \quad (2)$$

Variația rotației microbillei bilei poate fi exprimată prin relația: $\Delta\theta = \frac{R}{r}(\varphi_0 - \varphi)$

Ecuatiile (1) – (2) permit determinarea următoarei ecuații:

$$\frac{7}{10} m \cdot v^2 + \frac{R}{r} \cdot M_r \cdot (\varphi_0 - \varphi) - m \cdot g \cdot R \cdot (\cos \varphi - \cos \varphi_0) = 0 \quad (3)$$

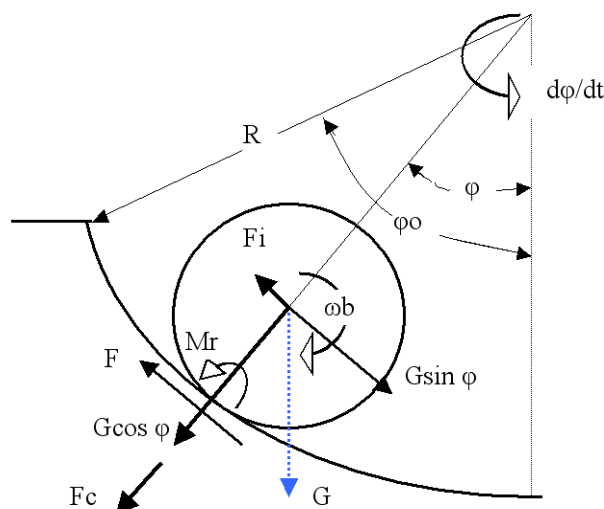


Figura 2. Reprezentarea forțelor și momentelor de rezistență ce acționează asupra microbillei i la rularea pe suprafața sferică

Ecuția (3) conduce la următoarea ecuație diferențială pentru rostogolirea microbillei la coborâre:

$$\frac{d^2 \varphi}{dt^2} + k \cdot \sin \varphi - b = 0 \quad (4)$$

unde: $k = \sqrt{\frac{5 \cdot g}{7 \cdot R}}$ și $b = \frac{5}{7} \cdot \frac{M_r}{m \cdot r \cdot R}$

Aproximând $\sin \varphi \approx \varphi$ (pentru oscilații mici), ecuația (4) devine o ecuație diferențială neomogenă și poate fi rezolvată cu următoarea soluție generală:

$$\varphi(t) = \frac{b}{2k^2} + C1 \cdot \cos(k \cdot t) + C2 \cdot \sin(k \cdot t) \quad (5)$$

Constantele C1 și C2 sunt determinate în acord cu condițiile inițiale: $t=0$, $\varphi = \varphi_0$ și $d\varphi/dt=0$ (viteza centrului microbillei) iar variația poziției unghiulare în funcție de timp la coborârea microbillei devine:

$$\varphi(t) = \frac{b}{2k^2} + \left(\varphi_0 - \frac{b}{2k^2}\right) \cdot \cos(k \cdot t) \quad (6)$$

Când microbila rulează pe suprafața sferică și urcă din cauza inerției, din poziția unghiulară corespunzătoare lui $\varphi = 0$ în poziția unghiulară φ , când viteza microbii este zero, se obține următoarea ecuație diferențială:

$$\frac{d^2\varphi}{dt^2} + k \cdot \sin \varphi + b = 0 \quad (7)$$

Cu aproximația $\sin \varphi \approx \varphi$ ecuația (7) poate fi rezolvată și se obține următoarea soluție generală:

$$\varphi(t) = -\frac{b}{2k^2} + C3 \cdot \cos(k \cdot t) + C4 \cdot \sin(k \cdot t) \quad (8)$$

Constantele C3 și C4 sunt determinate în acord cu următoarele condiții inițiale:

la $t=0$, $\varphi = 0$ și $d\varphi/dt = v_0$, unde v_0 este viteza maximă a microbii oscilante.

Soluția pentru condițiile menționate este:

$$\varphi(t) = -\frac{b}{2k^2} + \frac{b}{2k^2} \cdot \cos(k \cdot t) + \frac{v_0}{k} \cdot \sin(k \cdot t) \quad (9)$$

2. Forțele tangențiale și normale ce acționează asupra bilei

În acord cu figura 2, echilibrul forțelor ce acționează asupra unei microbii care se rostogolește, permite următoarele relații pentru forțele tangențiale și normale:

$$G \cdot \sin(\varphi) - Fi = F \quad (10)$$

$$Fc + G \cdot \cos(\varphi) = N \quad (11)$$

Forța inerțială Fi și forța centrifugă Fc pot fi exprimate rezolvând următoarele ecuații:

$$Fi = -m \cdot R \cdot \frac{d^2\varphi}{dt^2} \quad (12)$$

$$Fc = m \cdot \left(\frac{d\varphi}{dt}\right)^2 \cdot R \quad (13)$$

Expresiile finale pentru forța tangențială $F(t)$ și forța normală $N(t)$ sunt următoarele:

$$F(t) = \frac{2}{7} \cdot m \cdot g \cdot \sin \varphi(t) + \frac{5}{7} \cdot \frac{M_r}{r} \quad (14)$$

$$N(t) = \frac{1}{7} \cdot m \cdot g \cdot [17 \cos \varphi(t) - 10 \cos \varphi_0] - \frac{10}{7} \cdot \frac{M_r}{r} \cdot [\varphi_0 - \varphi(t)] \quad (15)$$

Un coeficient de frecare convențional în cazul microbii a fost introdus în acord cu următoarea relație, când accelerația bilei este zero (poziția $\varphi(t) = 0$):

$$\mu_r = \left(\frac{F(t)}{N(t)}\right)_{\varphi(t)=0} \quad (16)$$

3 Metodologia de realizare experimentală

Oscilațiile libere ale unor microbule de oțel pe o suprafață sferică de sticlă sunt înregistrate cu o camera video. Pentru o poziție unghiulară dată a bilei, φ_0 și un moment de frecare impus M_r , din ecuația (6) se determină timpul t_1 când $\varphi(t_1) = 0$ (microbula ajunge la nivelul cel mai jos);

- (i) Pentru $t = t_1$ se determină viteza maximă unghiulară a bilei $\frac{d\varphi(t)}{dt} = v_0$;
- (ii) Din ecuația (9) se determină timpul t_2 când viteza unghiulară a microbulei, în urcare pe suprafața sferică devine zero și poziția bilei corespunde noului nivel corespunzător unghiului φ_1 ;
- (iii) Procedura se repetă cu pasul (i) pentru noua poziție inițială a bilei φ_1 , când $\varphi_1 < \varphi_0$;

Numărul oscilațiilor simulate se compară cu valorile experimentale înregistrate de camera video. Dacă numărul de oscilații rezultat din calcul este diferit de cel înregistrat video, se reface calculul cu altă valoare a momentului de frecare la rostogolire M_r .

Pentru rezolvarea succesivă a ecuațiilor de urcare și de coborâre a microbulei pe suprafața sferică dată s-a realizat un program în utilitarul MathCad. Pe baza datelor impuse: diametrul microbulei d , Raza de curbura a suprafeței sferice R , unghiul inițial de pornire a oscilațiilor φ_0 și a numărului de oscilații complete se obține, prin câteva încercări, valoarea reală a momentului de frecare de rostogolire M_r . Apoi se calculează coeficientul de frecare de rostogolire cu relația (16).

Programul de calcul este prezentat în ANEXA 1.

4 Rezultate numerice privind influența umidității asupra coeficientului de frecare la rostogolire pentru microsisteme

Se prezintă în continuare modul în care influențează umiditatea asupra frecării de rostogolire la o microbilă cu diametrul de 1mm.

Pentru a se pune în evidență influența apei condensate pe suprafața sferică s-au făcut încercări la două temperaturi: 70^0 C și 10^0 C . Umiditatea atmosferică relativă a fost cuprinsă între valorile (70 – 80)%. Experimentele au fost realizate pentru o microbilă cu diametrul de 1 mm oscilând pe o suprafață sferică de sticlă cu raza de $R = 57\text{ mm}$ și un diametru de 70 mm.

Bazate pe înregistrarea video a oscilațiilor libere ale bilei s-a determinat momentul frecării de rostogolire M_r cu metoda descrisă anterior. Experimentele realizate la 70^0 C sunt considerate ca fiind oscilațiile bilei în condiții de frecare uscată în timp ce la 10^0 C pe suprafața sferică se depune condens.

În fig. 3 se prezintă numărul de oscilații și valoarea coeficientului de frecare la rostogolirea microbulei în condiții uscate (temperatura suprafeței sferice fiind de 70^0 C). S-a obținut un coeficient de frecare de rostogolire de aprox. 0.022 iar momentul de frecare rezultat a fost $M_r = 0,7\mu\text{Nmm}$, cu 20 de oscilații libere ale microbulei.

Pentru a evidenția efectul de capilaritate în frecarea de rostogolire în microsisteme s-au realizat experimente asemănătoare la o temperatură de 10^0 C pe suprafața sferică existând apă condensată.

În fig.4 se prezintă numărul de oscilații și valoarea coeficientului de frecare la rostogolirea microbulei în condiții de capilaritate (temperatura suprafeței sferice fiind de 10^0 C). S-a obținut un coeficient de frecare de rostogolire de aprox. 0.06 iar momentul de frecare rezultat a fost $M_r = 1,9\mu\text{Nmm}$, cu 8 de oscilații libere ale microbulei.

Experimentul a pus în evidență importanța deosebită a prezenței moleculelor de apă condensate pe suprafețe asupra frecării de rostogolire la scară micro.

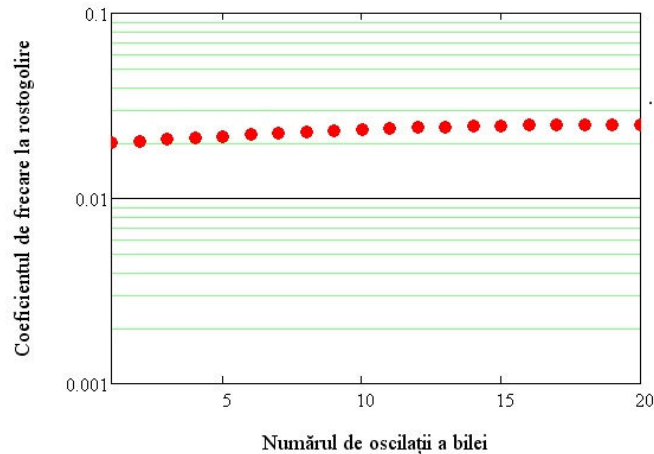


Figura 3 Coeficientul de frecare pentru bila cu diametrul de 1mm și numărul de oscilații complete ale microbillei la temperatura de 70°C

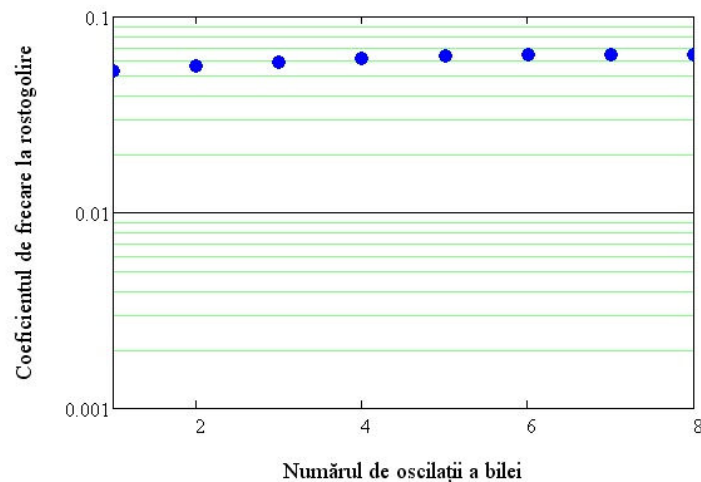


Figura 4 Coeficientul de frecare pentru bila cu diametrul de 1mm și numărul de oscilații complete ale microbillei la temperatura de 10°C

5. Concluzii

Metoda permite evaluarea momentului de frecare de rostogolire dintre o bilă și o suprafață sferică, cu posibilitatea evidențierii efectului de capilaritate și de adeziune moleculară atunci când bila are diametre de 1-2 mm sau mai mici.

Pentru diametre mai mari ale bilelor efectul de adeziune și de capilaritate devine nesemnificativ așa cum se poate vedea în referințele bibliografice [1] și [2].

6. Referințe bibliografice

1. Olaru, DN; Stamate, C; Prisacaru, G. - *Rolling Friction in a MicroTribosystem*, **TRIBOLOGY LETTERS**, Volume: 35, Issue: 3, 2009, Pages: 205-210, <http://link.springer.com/journal/11249>;
2. Ciprian Vasile Stamate, CONTRIBUȚII LA STUDIUL TEORETIC ȘI EXPERIMENTAL

ANEXA 1

ROSTOGOLIREA BILEI PE O SUPRAFATA SFERICA

Date generale

$$g := 9.81 \quad R := 0.057 \quad r := 0.0005 \quad \rho := 7800 \quad \phi_0 := 37 \cdot \frac{\pi}{180}$$

$$m := 4 \cdot \frac{\pi \cdot r^3}{3} \cdot \rho \quad k := \left(5 \cdot \frac{g}{7 \cdot R} \right)^{0.5}$$

Momentul de frecare de rostogolire M

$$M := 0.0000000007 \quad \gamma := 0.072 \quad \chi := 0$$

Parametrul de franare b

$$b := 5 \cdot \frac{M}{7 \cdot m \cdot R \cdot r} \quad \mu := \frac{M}{m \cdot g \cdot r} \quad T := \gamma \cdot \pi \cdot 3 \cdot r$$

$$\mu = 0.035$$

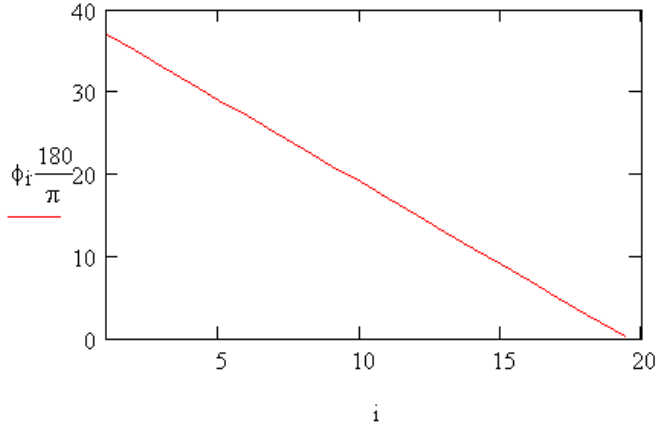
Formula de recurenta utilizata:

$$\begin{aligned} \phi_{i+1} := & \frac{-b}{2 \cdot k^2} + \frac{b}{2 \cdot k^2} \cdot \cos \left[k \cdot \left[\frac{1}{k} \cdot \operatorname{atan} \left[2 \cdot \frac{k}{b} \cdot \left(\phi_i + \frac{-b}{2 \cdot k^2} \right) \right] \cdot k \cdot \sin \left[k \cdot \left(\operatorname{acos} \left(\frac{1}{1 - \phi_i \cdot 2 \cdot \frac{k^2}{b}} \right) \cdot \frac{1}{k} \right) \right] \right] + \right. \\ & + \frac{1}{k} \cdot \left[\left(\phi_i + \frac{-b}{2 \cdot k^2} \right) \cdot k \sin \left[k \cdot \left(\operatorname{acos} \left(\frac{1}{1 - \phi_i \cdot 2 \cdot \frac{k^2}{b}} \right) \cdot \frac{1}{k} \right) \right] \right] \cdot \sin \left[k \cdot \left[\frac{1}{k} \cdot \operatorname{atan} \left[2 \cdot \frac{k}{b} \cdot \left(\phi_i + \frac{-b}{2 \cdot k^2} \right) \right] \right] \right. \\ & \left. \left. \cdot k \cdot \sin \left[k \cdot \left(\operatorname{acos} \left(\frac{1}{1 - \phi_i \cdot 2 \cdot \frac{k^2}{b}} \right) \cdot \frac{1}{k} \right) \right] \right] \right] \end{aligned}$$

Pentru momentul de frecare impus M numărul de oscilații corespunde cu cel măsurat (20 oscilații)

$$\phi_i \cdot \frac{180}{\pi} =$$

37
34.998
32.996
30.994
28.992
26.989
24.987
22.985
20.983
18.981
16.979
14.977
12.975
10.973
8.97
6.968



$$\mu_i := \frac{5 \cdot M}{m \cdot g \cdot r \cdot (17 - 10 \cdot \cos(\phi_i)) - 10 \cdot M \cdot \phi_i}$$

